

СУ “Св. Климент Охридски”

Катедра “Физикохимия”

доц д-р Стоян Гуцов

***Зол-гелните технологии като метод за
получаване на наноматериали***

- 1. Керамични материали*
- 2. Зол-гелни технологии*
- 3. Нанопорозни суперизолациони материали*
- 4. Хибридни оптични материали*
- 5. Материали за UV – филтри и защитни покрития*



GUTZOV

Керамични материали



C

TiC, ZrC

MoC, TaC, MoC

SiC, B₄C

TiB₂

BN, TaN, Si₃N₄

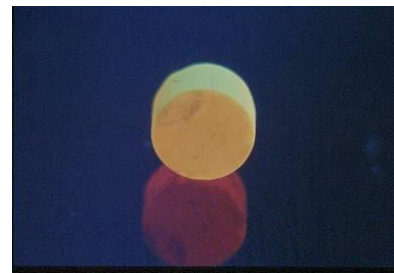
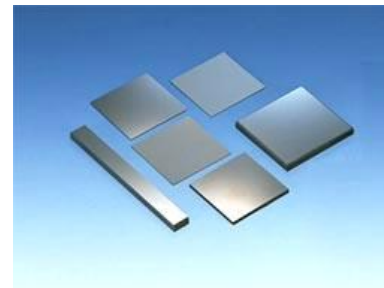
ZrN, TiN, AlN

Si₂N₂O

Zr - O - N

Zr - Mg - O - N

Ta - O - N, La - Ta - O - N,
La - Ca - Ta - O - N



SiO₂

SiO₂ - Al₂O₃

SiO₂ - Al₂O₃ - MgO

SiO₂ - Al₂O₃ - MgO

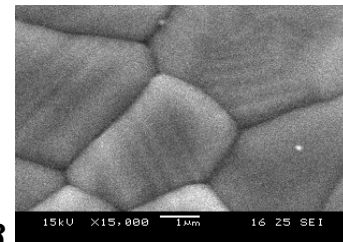
SiO₂ - MgO

Al₂O₃, MgO, ZrO₂

SnO₂, TiO₂, BaTiO₃

Y₂O₃:Eu, (Y,Gd)₂O₃:Eu

GdSiO₅:Tb

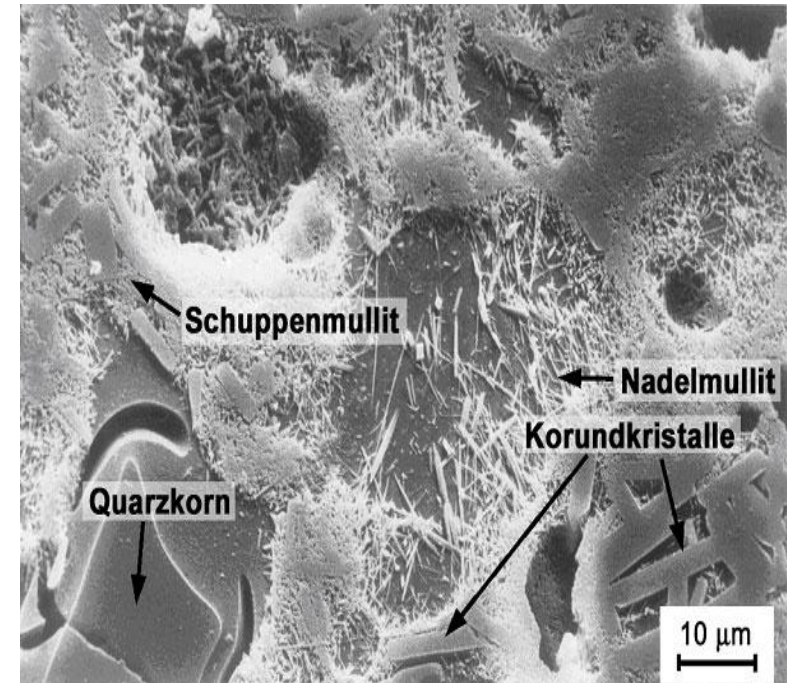




GUTZOV



Porzellan in Braunschweig, 2006





Зол-гелни технологии

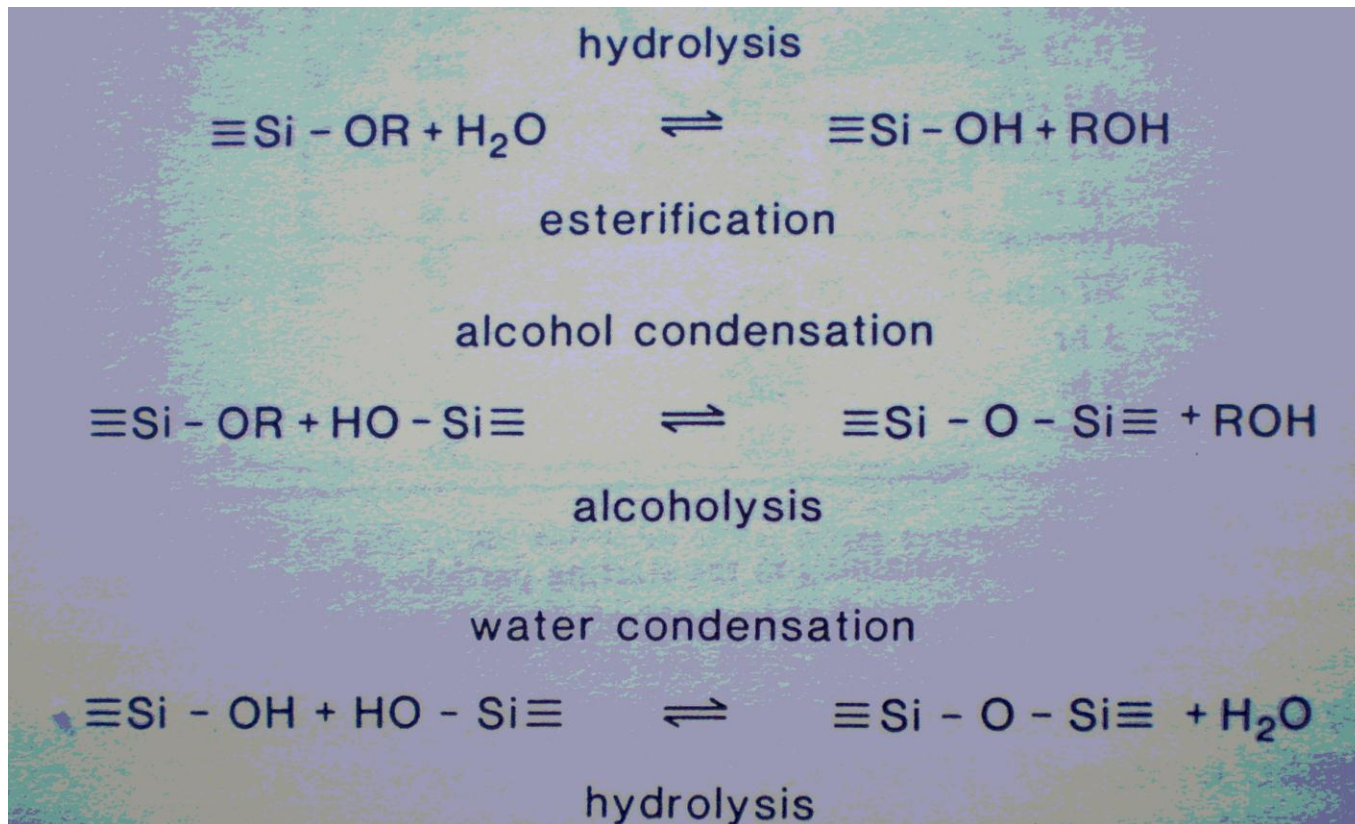


Sol-gel chemistry offers a possibility for the ambient preparation of **optical materials** like **xerogels** or **layers** doped with rare earth ions. In the same way a wide range of useful ceramic materials like Al_2O_3 , ZrO_2 , SnO_2 , SiO_2 , Al_2O_3 can be easily prepared.

Gels are **solids** confining a solvent in a three-dimensional **network**. The solvent may be enclosed as quasi-liquid in a pore system. In this state, the gels are called **hydrogels** (**water as solvent**) or **alcogels** (**alcohol as solvent**) etc. If the network has nano-dimensions or is index-matched, **the gel looks transparent**. If the solvent is removed without destruction of the network, the resulting body is called a **xerogel** ("dry gel"). If the pores then are filled simply with air, it is an **aerogel**.

The advantages of sol-gel technologies are low synthesis temperatures, possibilities for preparation of rare chemical compositions, formation of transparent materials or aerogels depending on the drying conditions. Sol-gel technologies, however, need long duration times of each preparation step as well as individual preparation procedures for each material.

Sol-Gel Science, C. J. Brinker, G. W. Scherer, Academic Press, 1990.





Оксидни материали по зол-гел метода:

лаб. 543, кат. Физикохимия (проект ВУХ 08/05)



T_{hyd} °C

pH

$n_{\text{Si}} / n_{\text{H}_2\text{O}}$

$n_{\text{Si}} / n_{\text{EtOH}}$

$n_{\text{Si}} / n_{\text{H}_2\text{O}}$

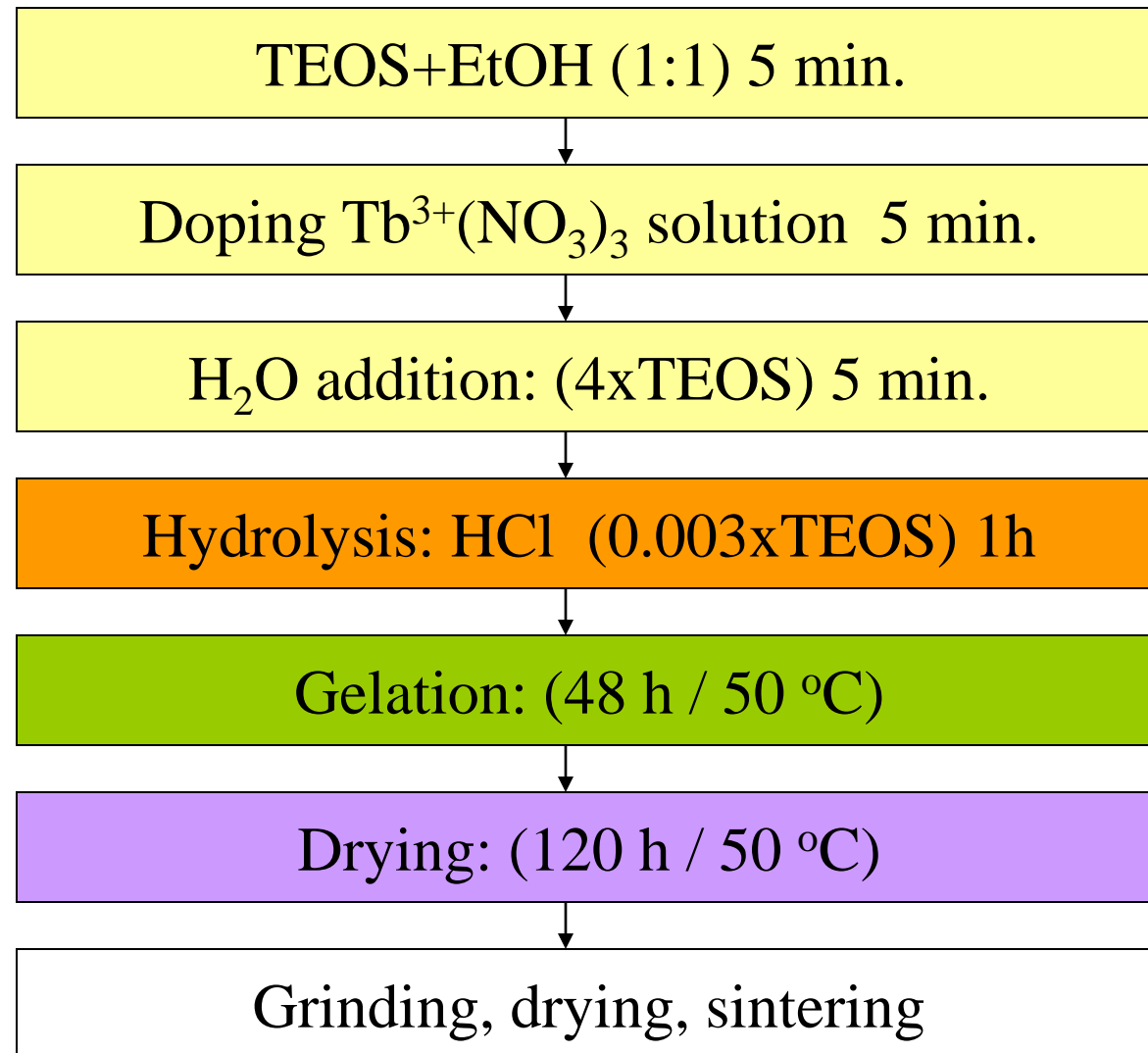
$n_{\text{Si}} / n_{\text{H}^+}$

$n_{\text{Si}} / n_{\text{OH}^-}$

V_{drying}

T_{drying} °C

M. Bredol, S. Gutzov, Effect of Germanium codoping on the luminescence of Terbium doped silica xerogels, Opt. Mater 20 (2002) 233-239.



Нанопори и нанофази в зол-гелни материали

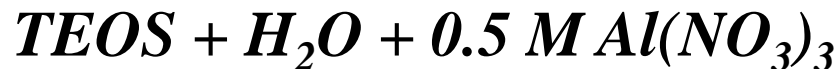
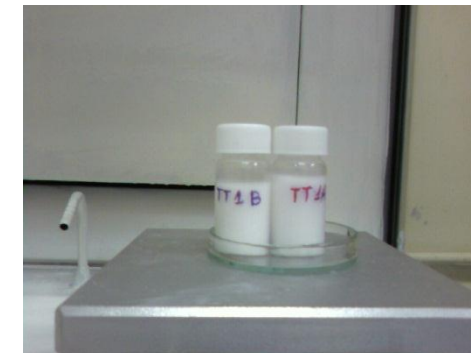
Hydrolisis



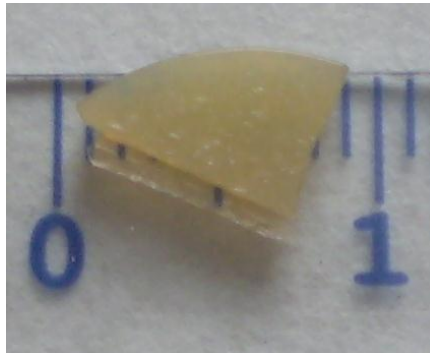
Gelation



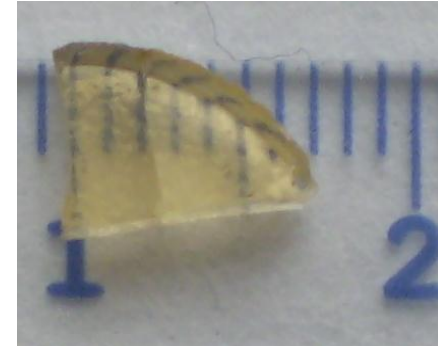
Ceramic method



Aging & index matching of doped gels (0.05-0.5 Sm/Si)

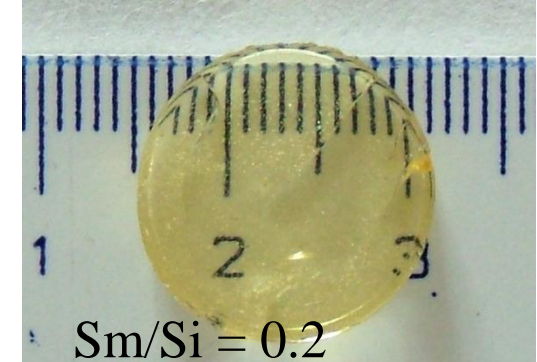
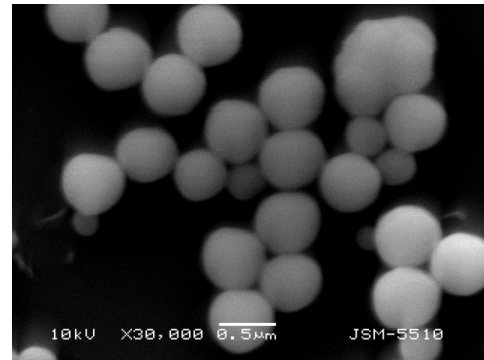
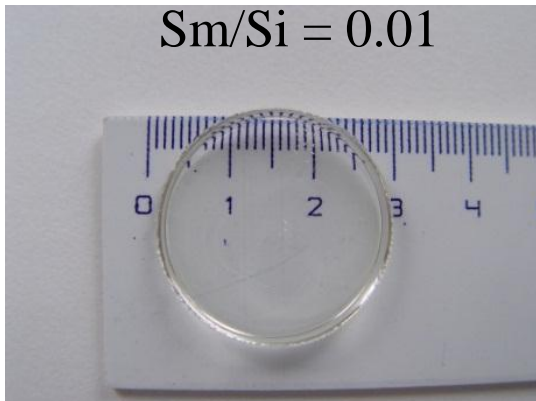


$+ H_2O =$

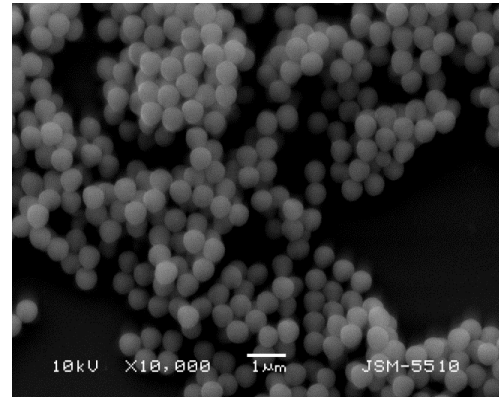


Неорганични SiO_2 материали с оптично активни компоненти: Tb, Sm, Ho. Контрол на прозрачността чрез получаване на микро- и нанофази на дотиращия оксид. Контрол на размерността чрез катализатори.

$\text{Sm/Si} = 0.01$

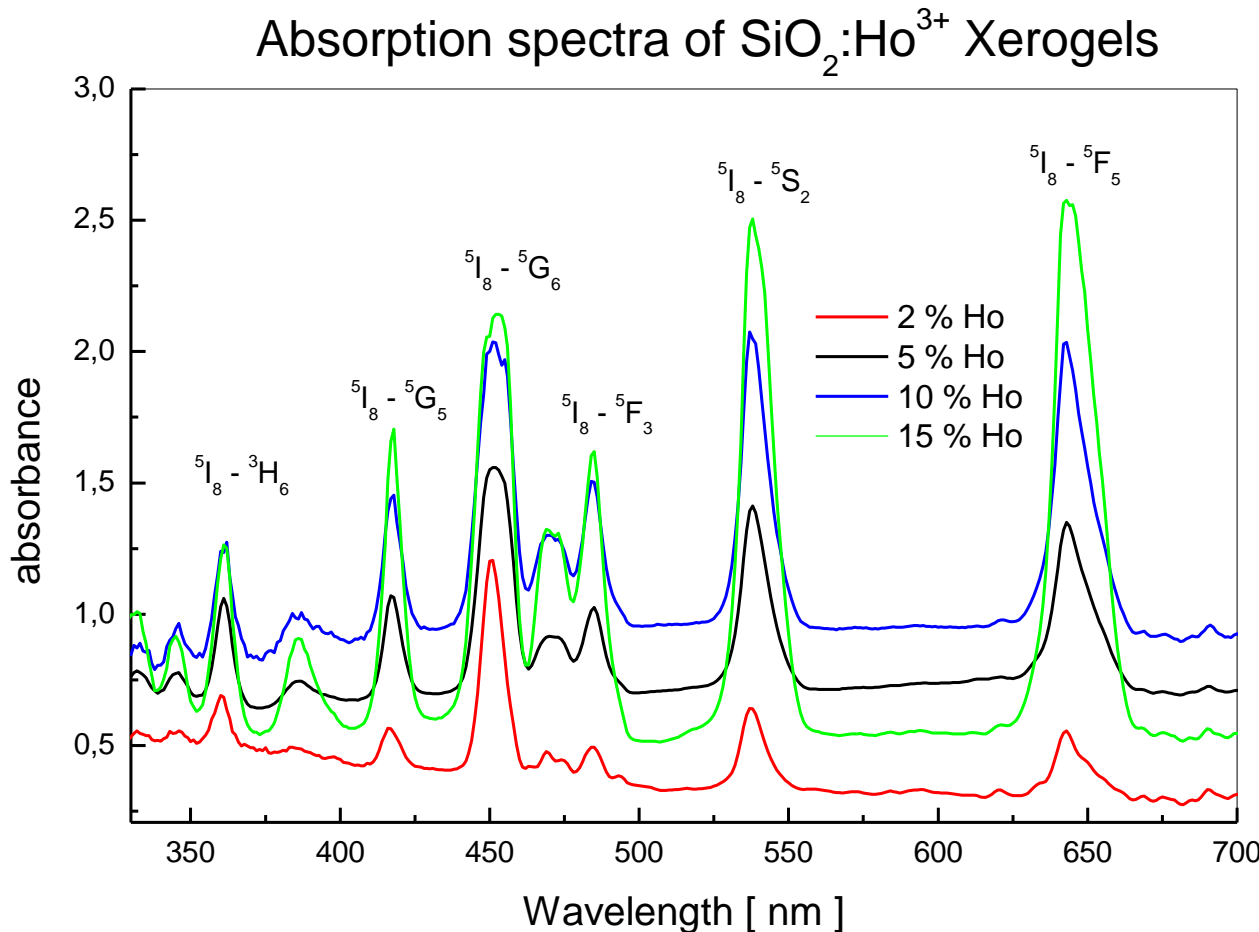


$\text{Sm/Si} = 0.2$



SiO_2

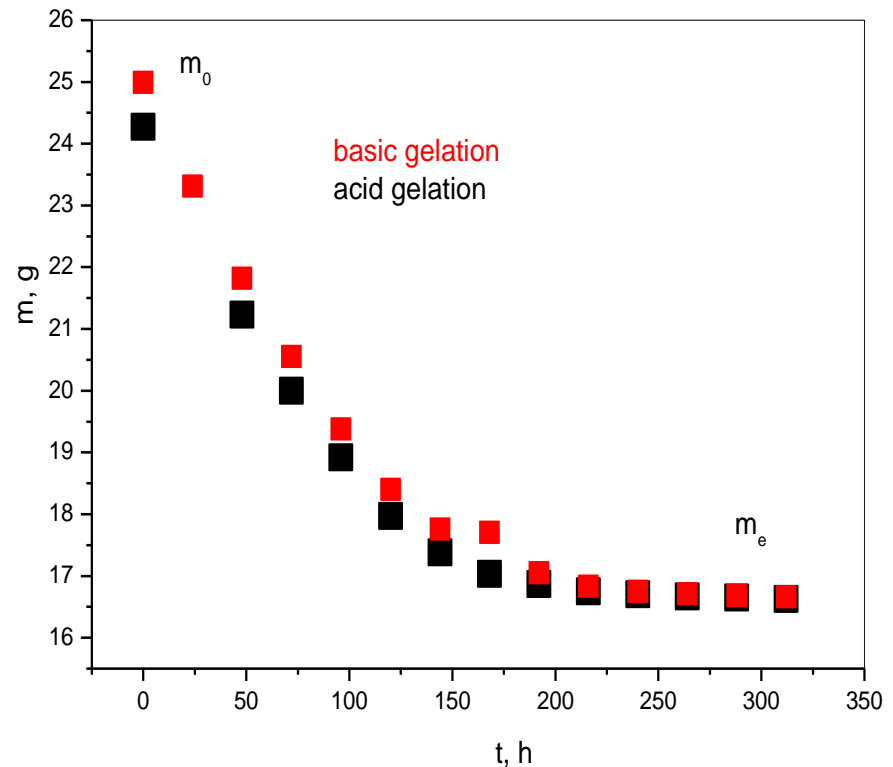
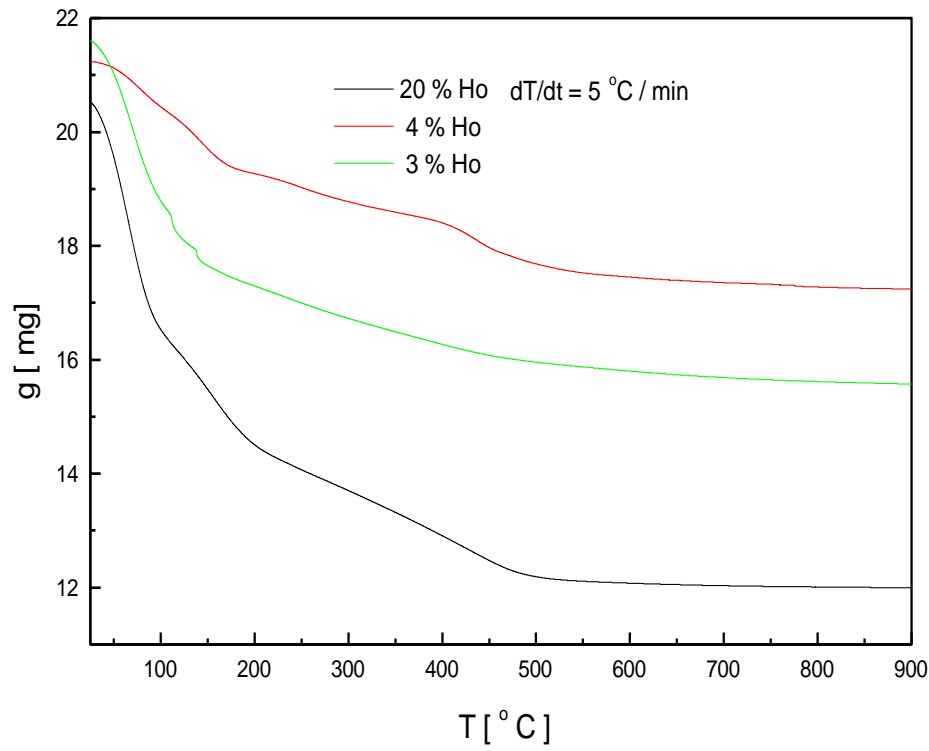
S. Gutzov , C. Berger , M. Bredol , C. L. Lengauer, Preparation and Optical Properties of Holmium Doped Silica Xerogels, J. Mater. Sci. Letters 21 (2002) 1105-1107.



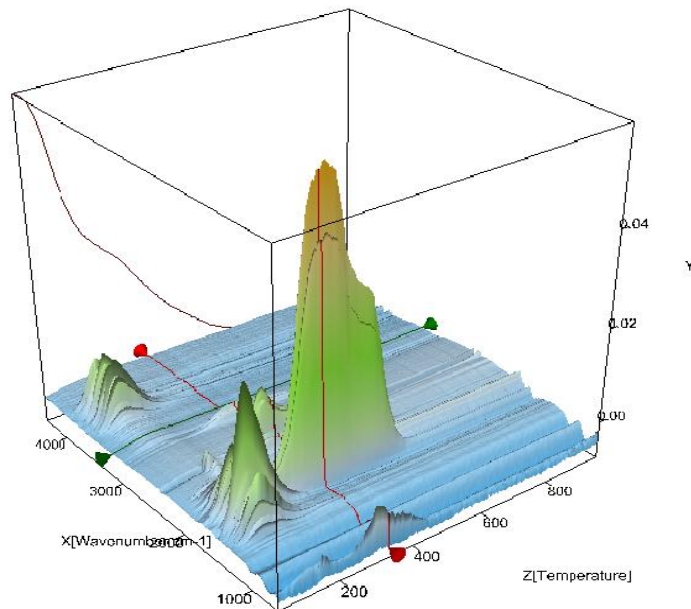
Ho – nitrate nanophase formation in silica at $\text{Ho} > 10\%$



Термична стабилност – зависи от дотирането, наличието на нано – и микрофази, пори



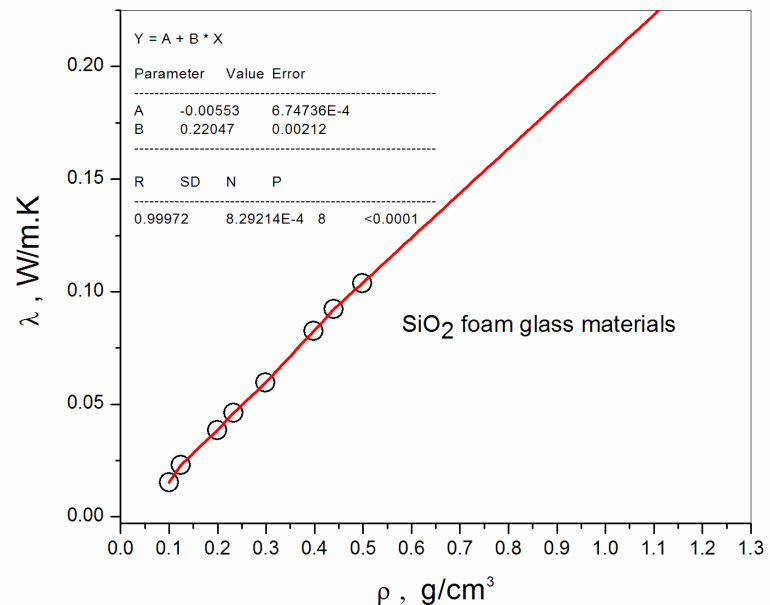
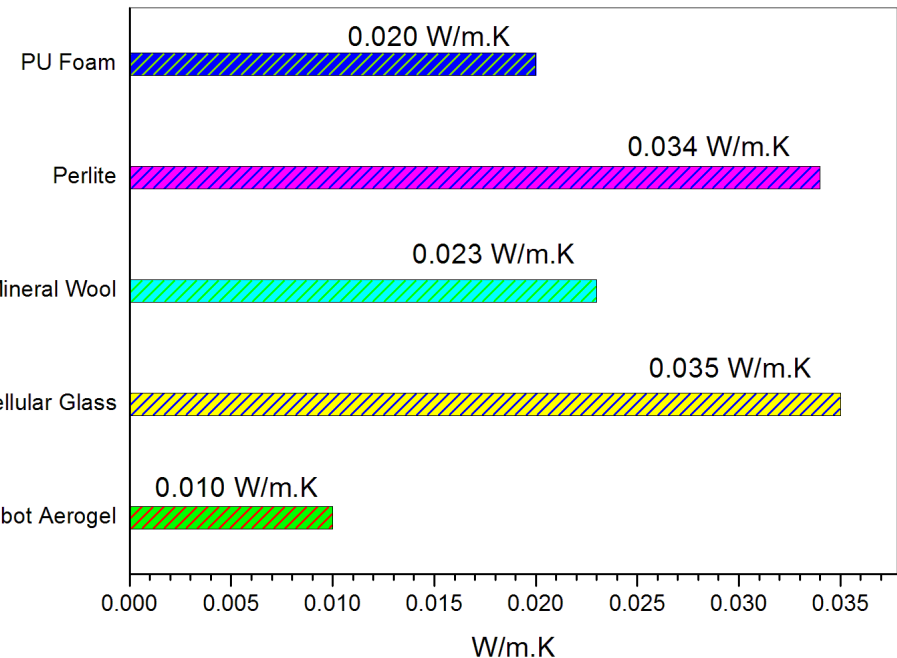
TG/FTIR анализ на гел съдържащ 0.05 Sm/Si



NETZSCH TG 209 *F1* coupled with FTIR Bruker TENSOR 27

TG/FTIR анализ на гел съдържащ 0.05 Sm/Si., Фирма NETZSCH, Germany, Dr. E. Füglein

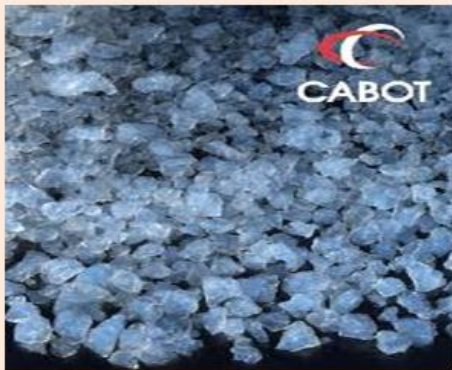
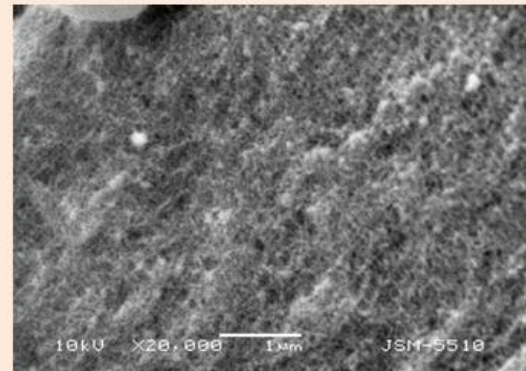
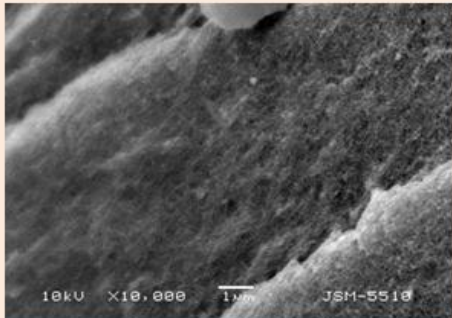
Нанопоръзни суперизолационни материали



$$\dot{Q} = -\lambda \cdot A \cdot \frac{T_2 - T_1}{\Delta x}$$

Cabot Granulated Nanogels

- One of the best insulation materials in the world produced at subcritical drying. Nano size pores (20 - 40nm), hydrophobic network.

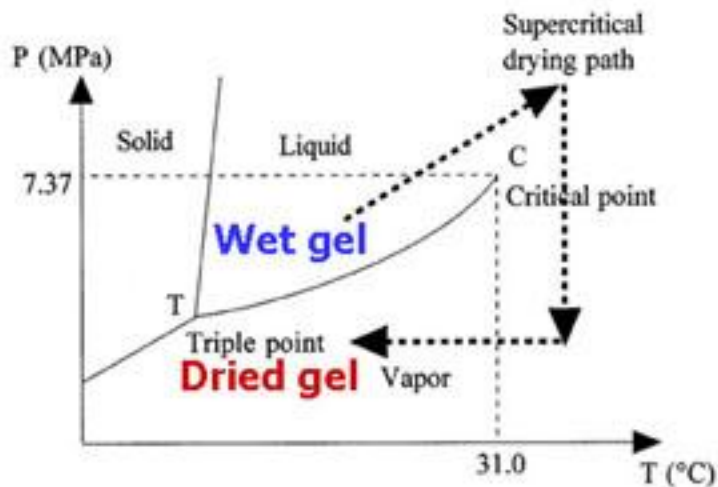


$\lambda = 0.01 \text{ W/m}\cdot\text{K}$
 $C_p = 700 - 1150 \text{ J/kg}\cdot\text{K}$
 $\rho = 0.03 \text{ g/cm}^3$
 $\alpha = 2.0 \div 4.0 \cdot 10^{-6} \text{ K}^{-1}$

Granules

11=45 \$

Supercritical Drying



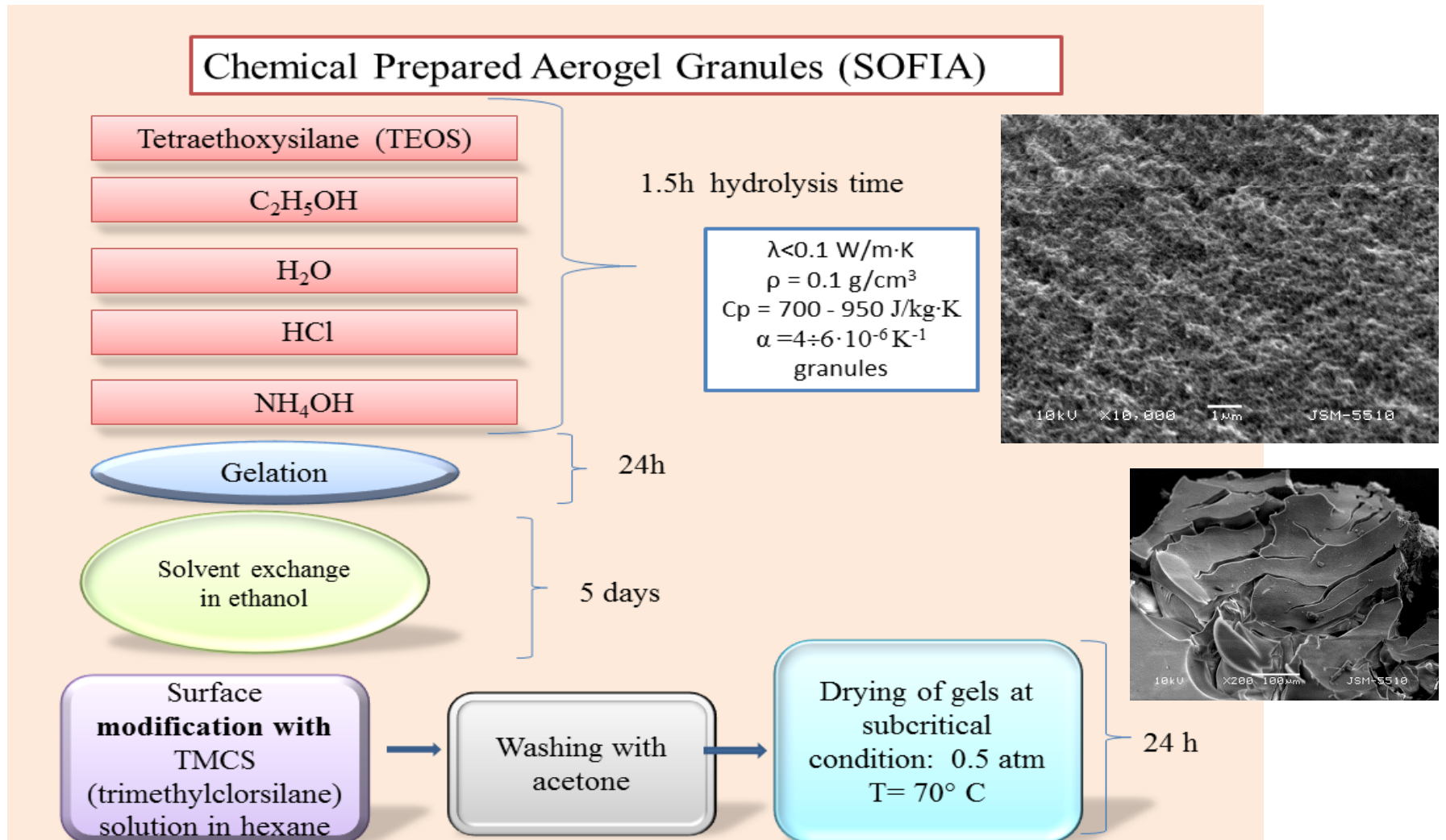
The solvent in a wet gel is replaced by a supercritical fluid, and then depressurize it to obtain a dried gel. Surface tension of the supercritical fluid is nearly zero, so the weak structure in the wet gel is maintained.

Table Critical Points of Various Fluids

Fluid	T_c (°C)	P_c (MPa)
Water H_2O	374.1	22.04
Carbon dioxide CO_2	31.0	7.37
Freon 116 $(CF_3)_2$	19.7	2.97
Acetone $(CH_3)_2O$	235.0	4.66
Nitrous oxide N_2O	36.4	7.24
Methanol CH_3OH	239.4	8.09
Ethanol C_2H_5OH	243.0	6.3

Critical point of a fluid is usually high pressure and sometimes high temperature. So SCD should be avoided as far as possible.

Optimization of materials, required for efficient heat machine operation (case materials).



Multipore Xerogel Granules by Silicon Bulk Hydrophobisation

TEOS
PS-21
 NH_4OH
 H_2O
 HNO_3

Gelation

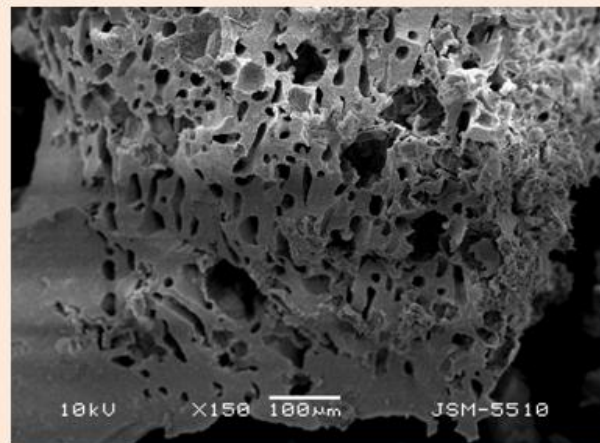
48 h

$\lambda < 0.1 \text{ W/m.K}$
 $C_p = 800 \div 900 \text{ J/kg.K}$
 $\rho = 0.4 \text{ g/cm}^3$
 $\alpha = 4 \div 6 \cdot 10^{-6} \text{ K}^{-1}$
Granules

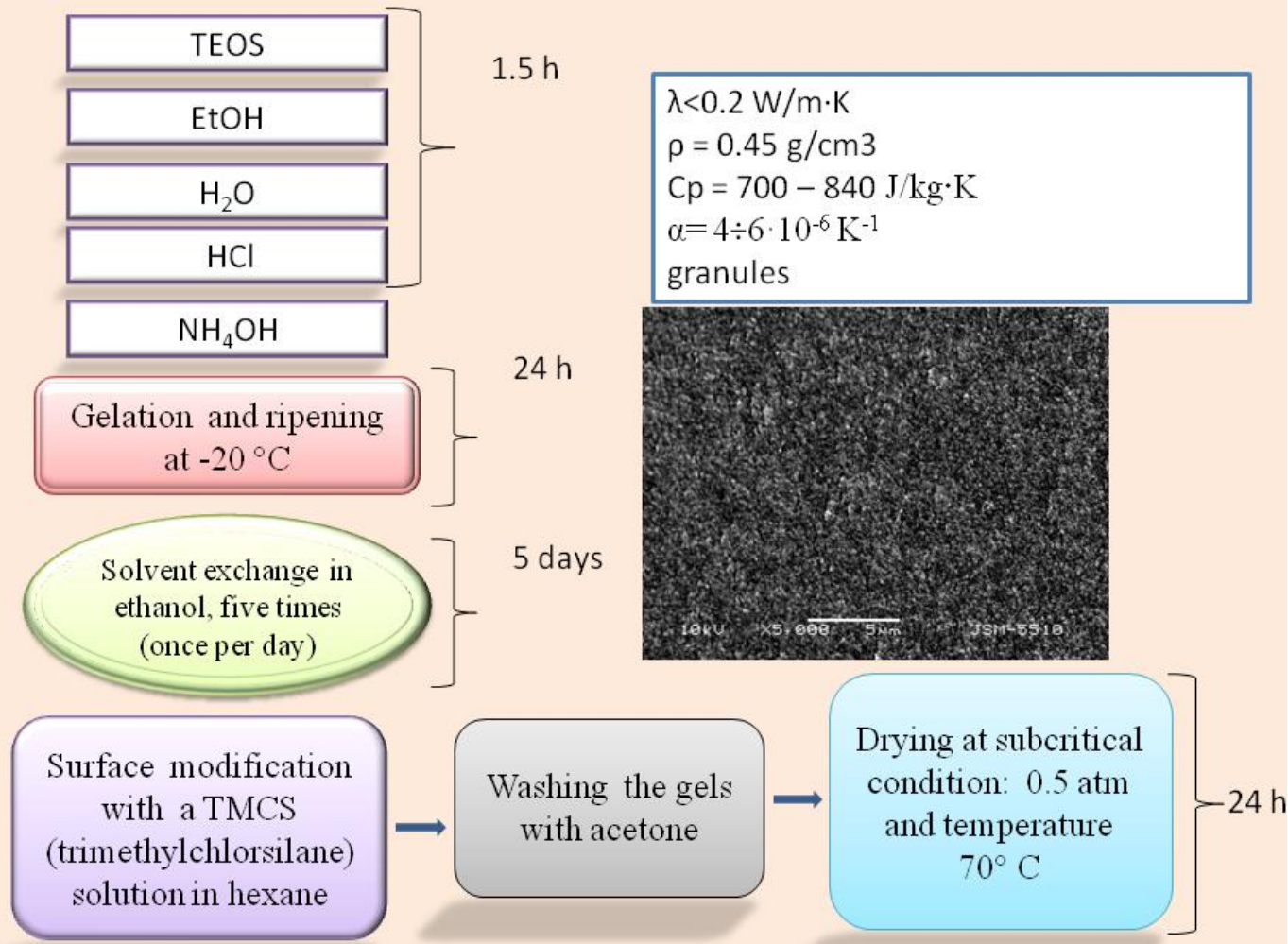
Solvent exchange in ethanol, five times (once per day in the next 5 days)

Drying at subcritical conditions: 0.5 atm and temperature 70° C

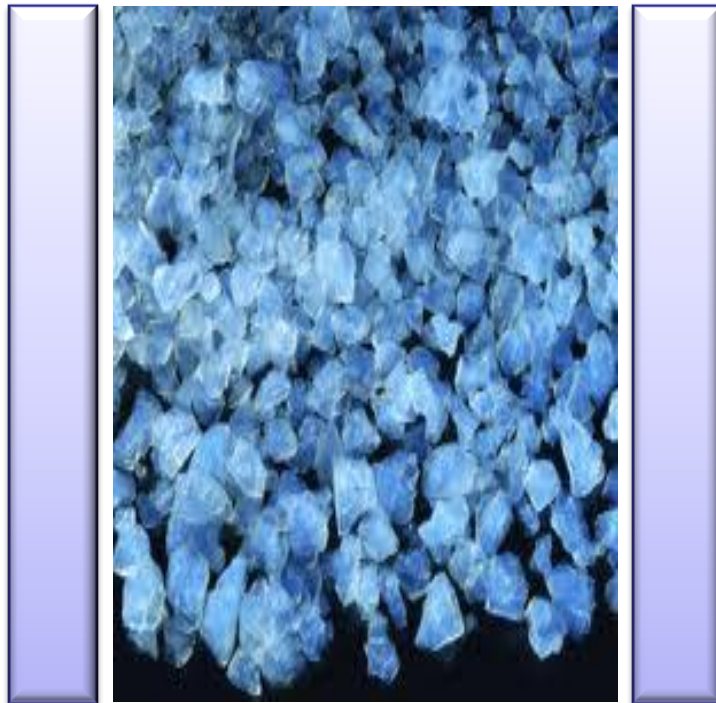
24h



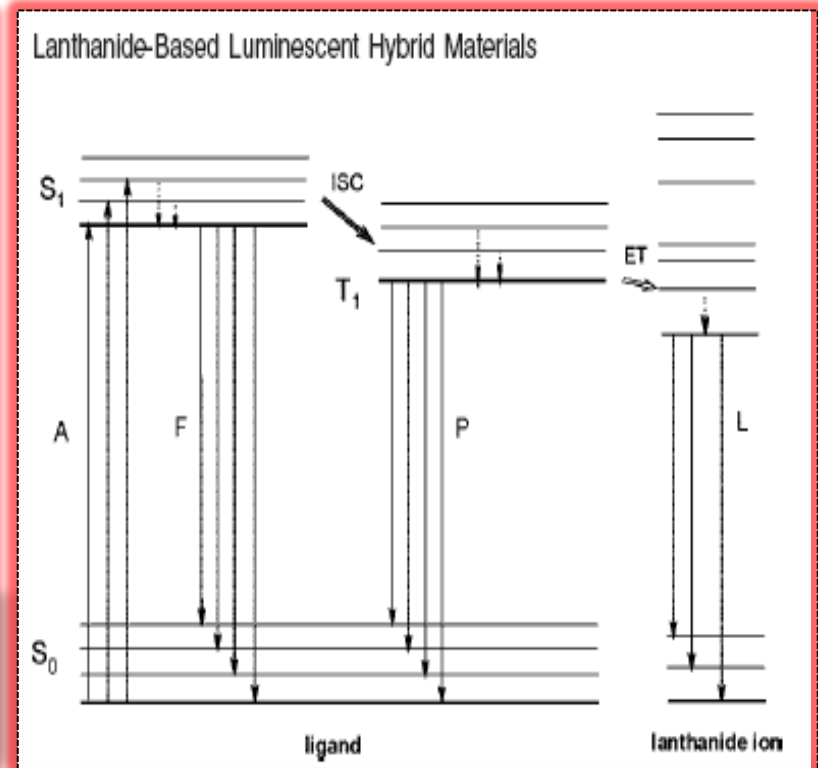
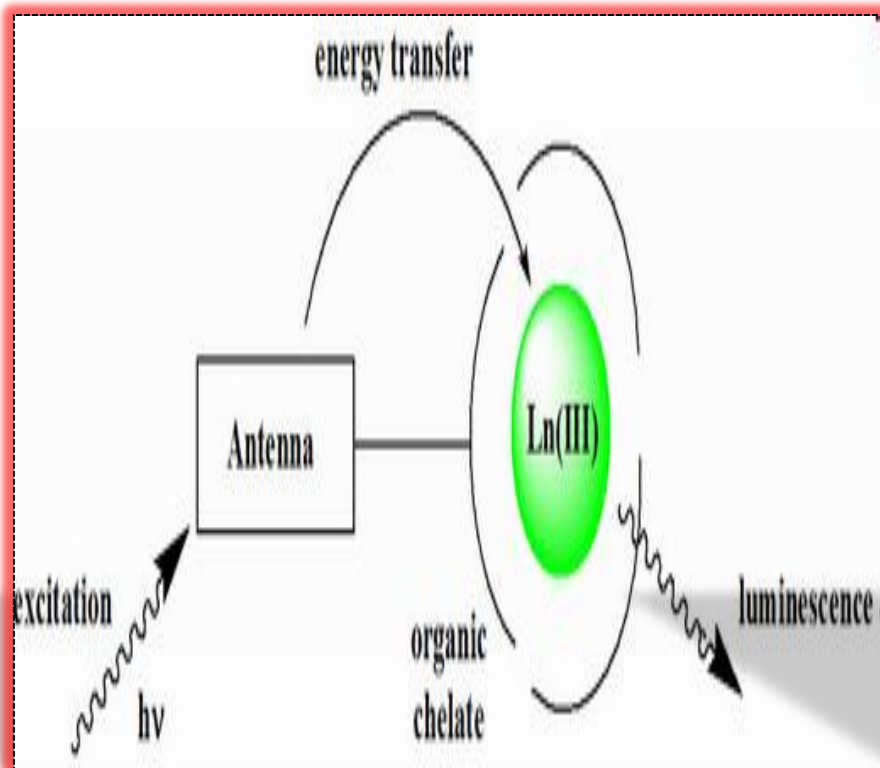
Surface Modified Freeze Dried Xerogel Granules



SUMMARY: Aerogel granules posses perfect insulation properties, they have to be incorporated into a panel for effective case insulation.

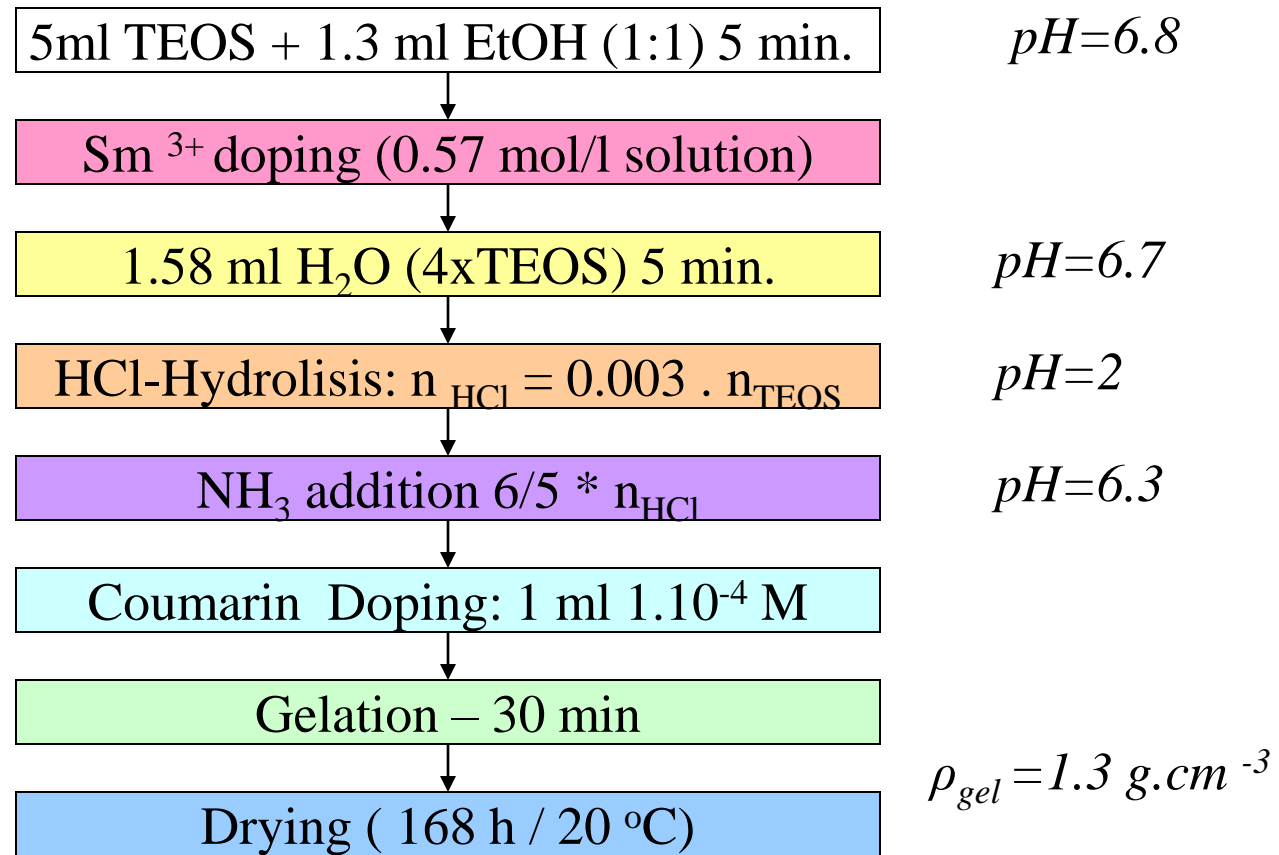
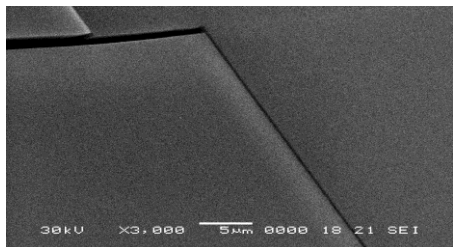
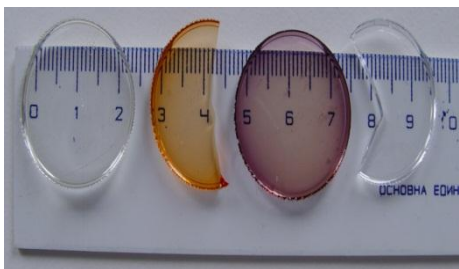


Хибриди оптични материали

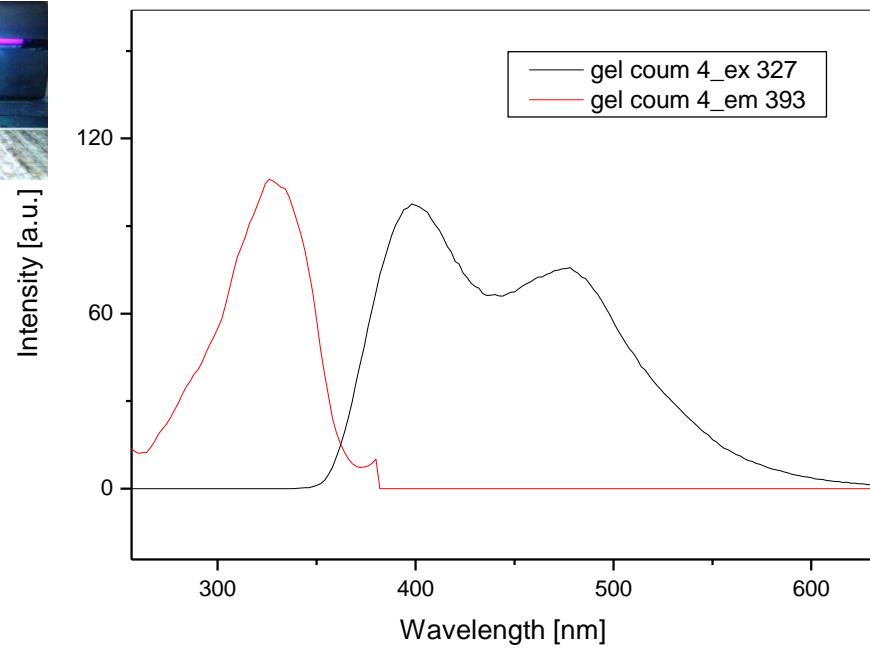
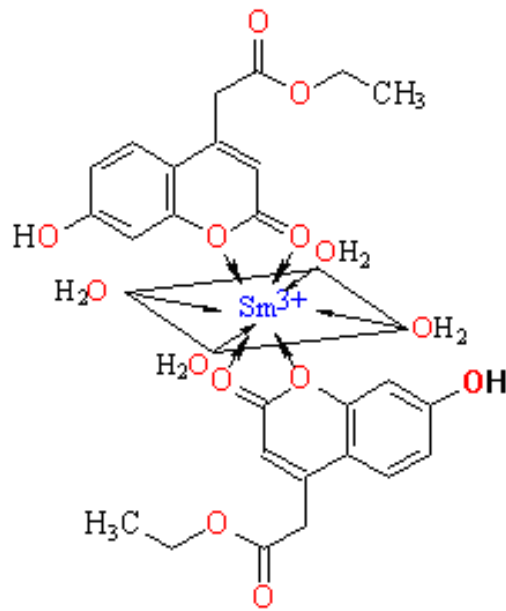


**ЛУМИНЕСЦЕНТНИ СВОЙСТВА НА КОМПЛЕКСИ НА
ЛАНТАНИДНИ ЙОНИ**

G. Ahmed, B. Koleva, S. Gutzov, I. Petkov, *J Incl. Phenom. Macro.* (2007),
DOI: 10.1007/s10847-007-9309-0.



Luminescence of hybrede materials doped with coumarin and Sm³⁺: G. Ahmed, B. Koleva, S. Gutzov, I. Petkov, *J Incl. Phenom. Macro.* (2007), DOI: 10.1007/s10847-007-9309-0.



Луминесценция на гелове, дотирани с
етил 2-(7-хидрокси-кумарин-4-ил) ацетат

Измерване на спектри в режим трансмисия и дифузно отражение

кварцови кювети
200 – 900 nm



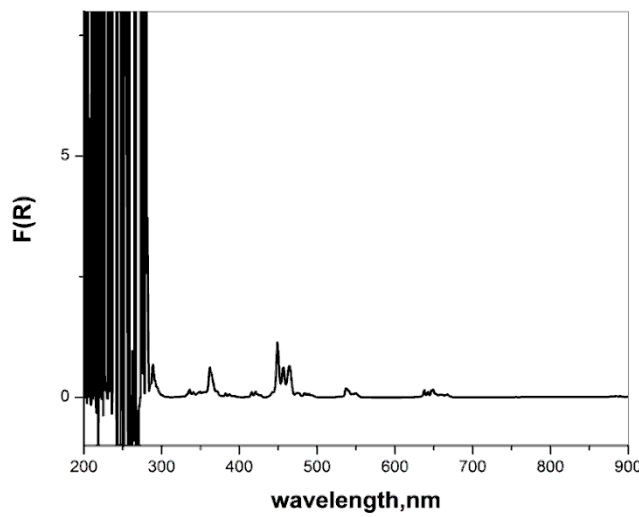
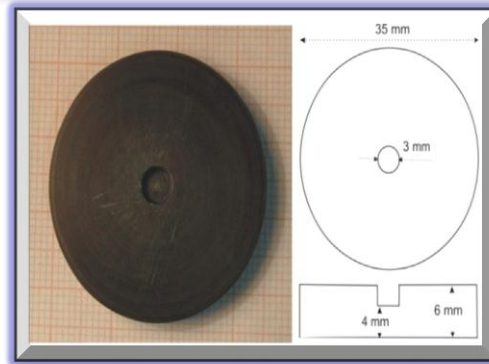
интегрираща сфера Labsphere PSA-PE-20
200 – 900 nm



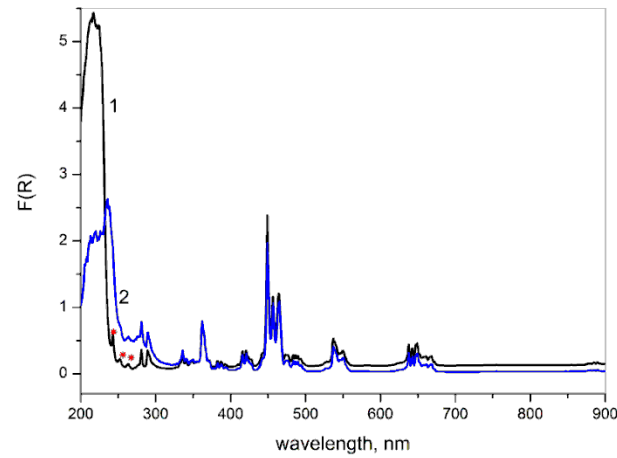
$$f = 4.32 \cdot 10^{-9} \cdot \frac{A_{\text{int}}(\tilde{v})}{c \cdot d}$$

$$F(R) = \frac{K}{S} = \frac{(1-R)^2}{2R}$$

Разработване на нови държатели с различни геометрии и размери на базата на полицетал Polipot POM ®, съвместими с интегриращата сфера модел LabSphere PSA-PE-20



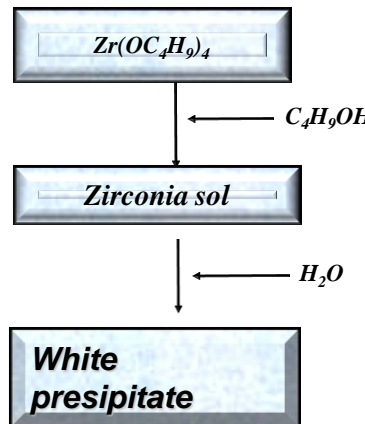
Дифузно - отражателен спектър на холмиеов оксид, покрит с предметно стъкло



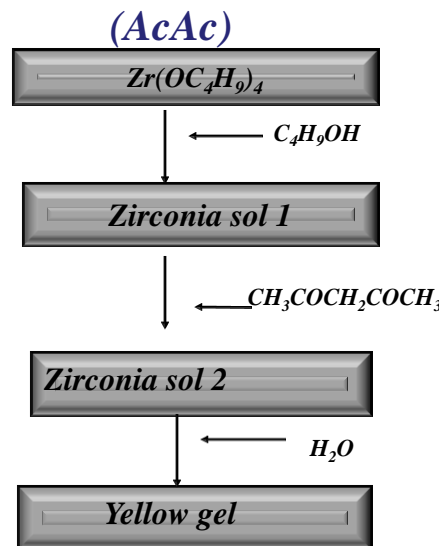
Съпоставка между дифузно - отражателни спектри на холмиеов оксид, измерен директно (1) и с покритие от кварцов стъкло (2) .

Получаване на ZrO_2 по зол-гелна технология

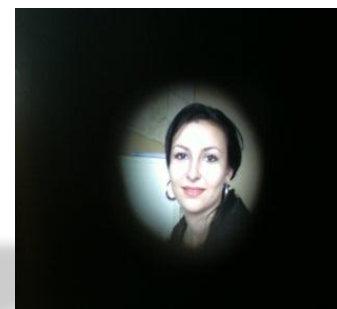
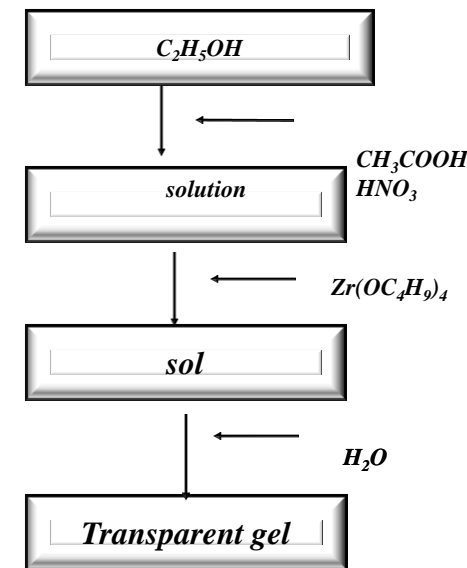
Without protection



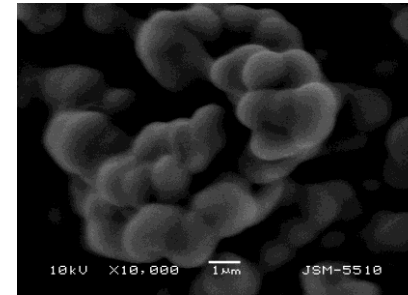
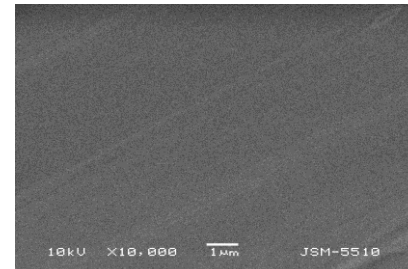
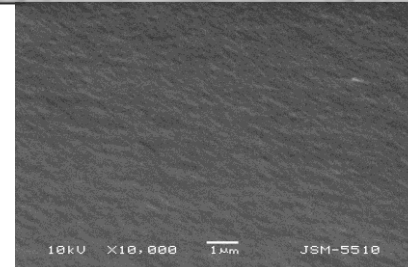
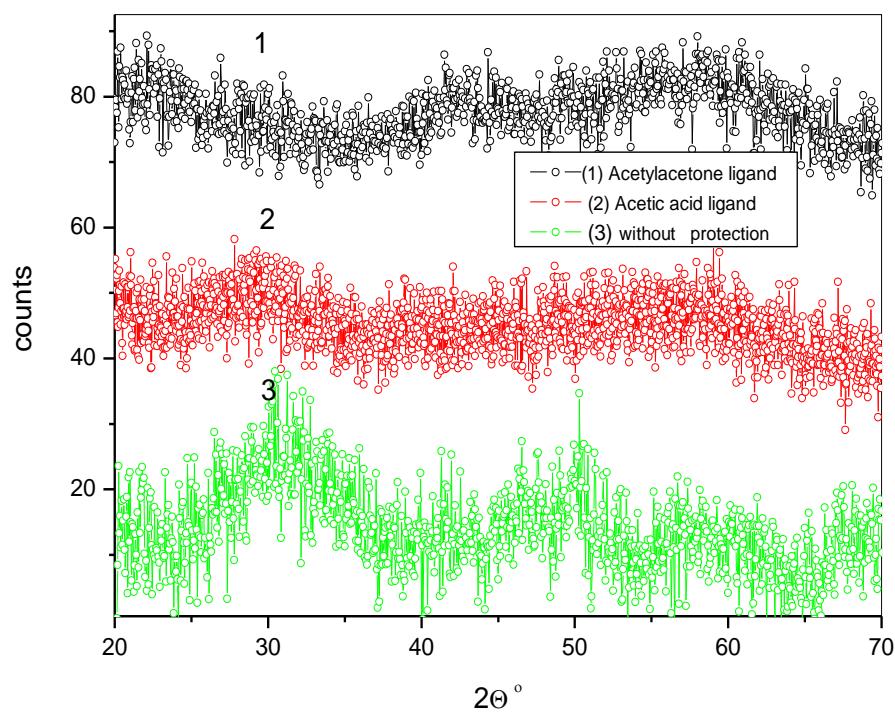
Acetylacetone



*Acetic acid
(AA)*



Рентгеноструктурен анализ СЕМ микроскопия



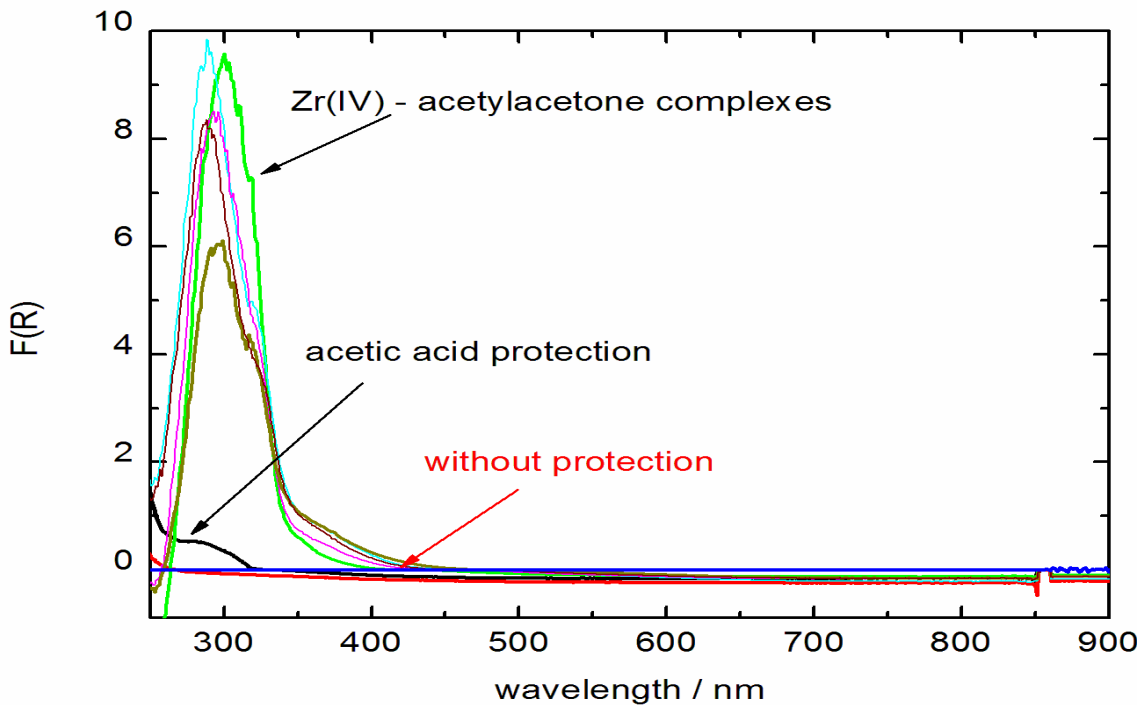
1

2

3

- 1 - Гелове, синтезирани с ацетилацетон като модифициращ агент
- 2 - Гелове получени с оцетна киселина като протектиращ лиганд
- 3 - Гелове получени без протекция на алкооксида

UV/VIS РЕФЛЕКСИОННА СПЕКТРОСКОПИЯ



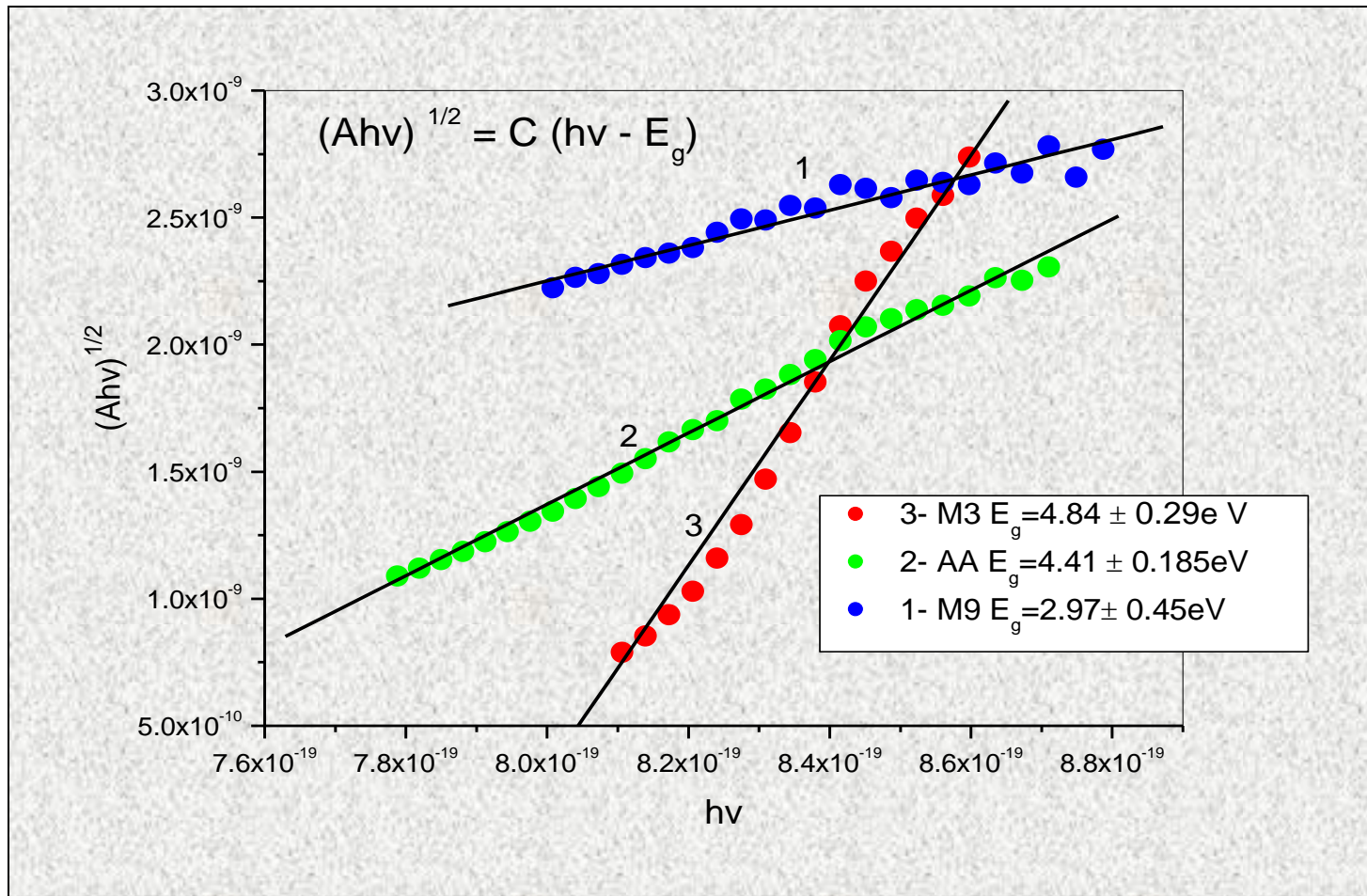
UV/Vis спекти на отражение на циркониеви зол-гел материали. За референтен спектър е използван KCl

1 – Гел, получен без протекция на началния прекурсор;

2-Гел, протектиран с оцетна киселина като протектиращ лиганд;

3,4,5- Гелове получени с оцетна киселина като модифициращ лиганд.

ОПТИЧНА ШИРИНА НА ЗАБРАНЕНАТА ЗОНА

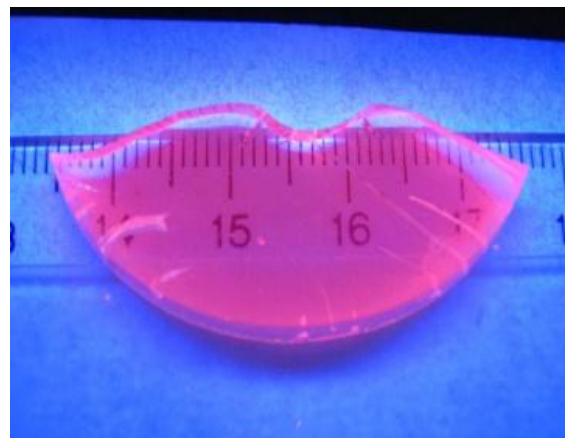
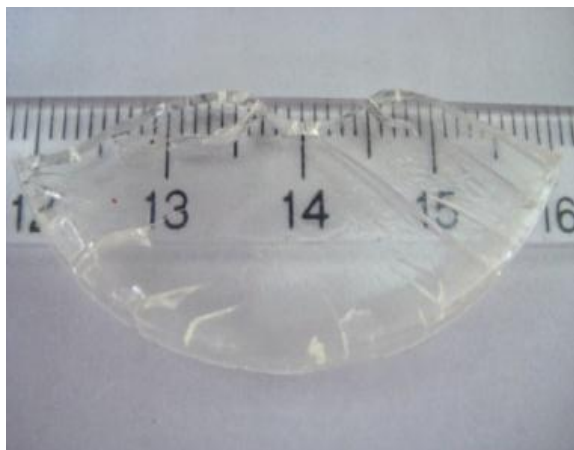
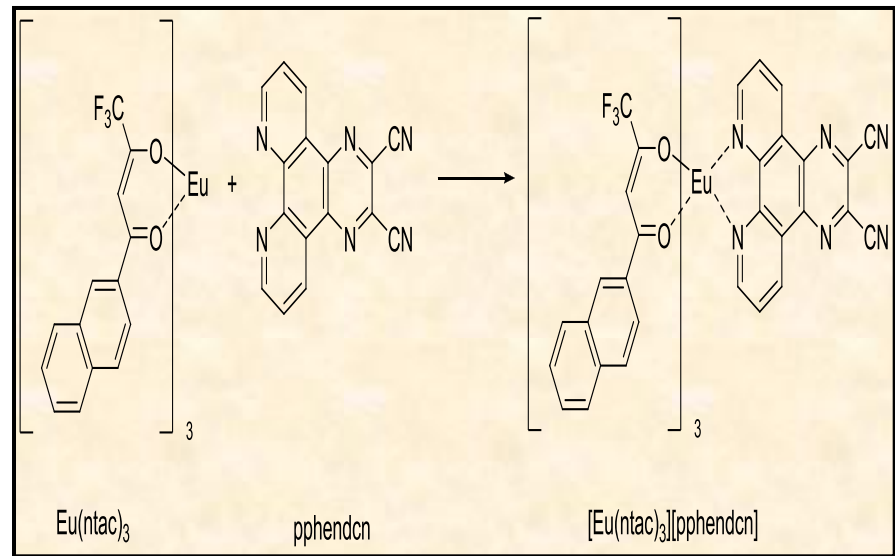
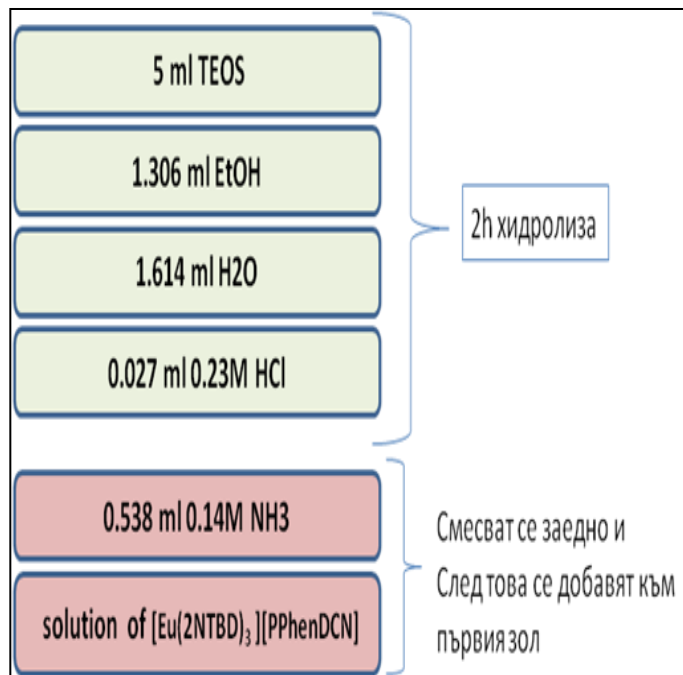


1 - гел синтезиран с ацетиалацетон $Eg=2.97\pm0.45\text{eV}$ $r = 0.97$

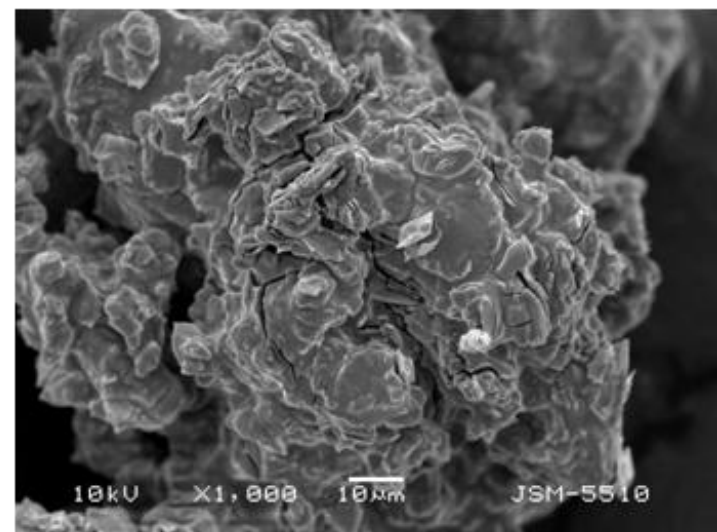
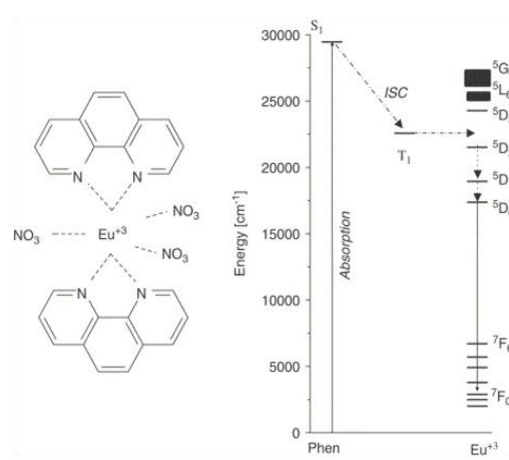
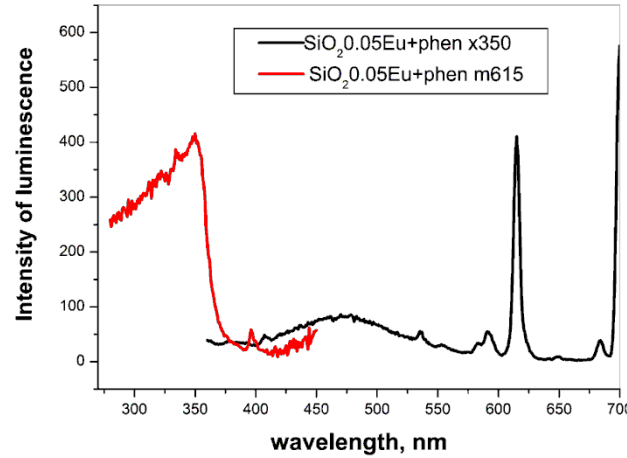
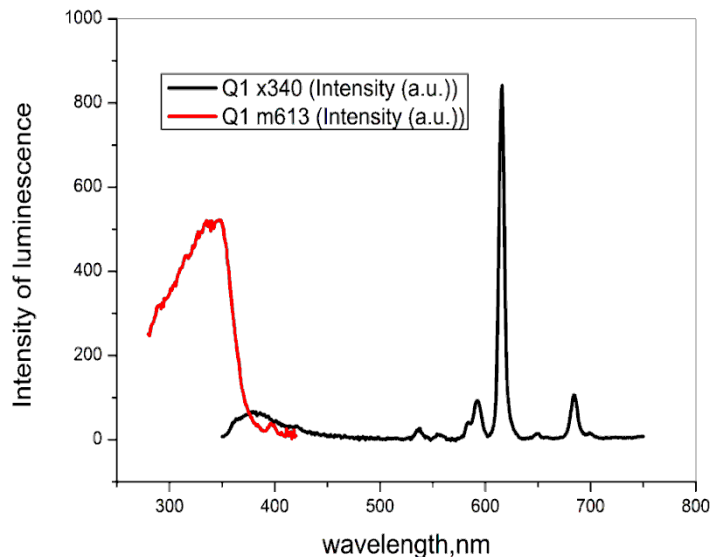
2 - гел с оцетна киселина $Eg=4.41\pm0.185\text{eV}$ $r = 0.99$

3 - бърза хидролиза на прекурсора $Eg=4.84\pm0.29\text{eV}$ $r = 0.99$

Дотиране на SiO_2 с $\text{Eu}[\text{ntac}]_3[\text{PPhenDCN}]$



Хибриди микро – и нанопрахове: *SiO₂* и ZrO₂ получен по зол-гел метода с [Eu(phen)₂](NO₃)₃



Квантов добив

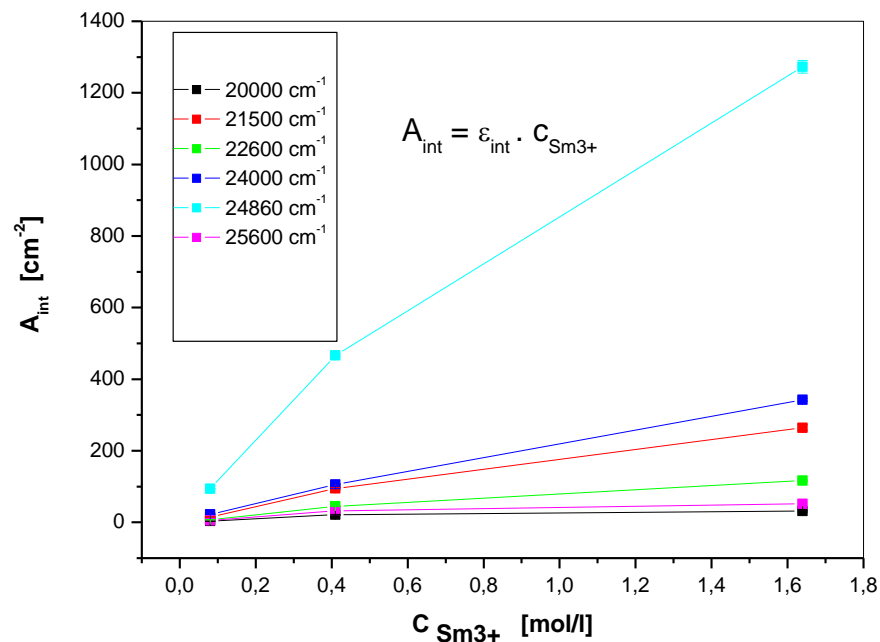
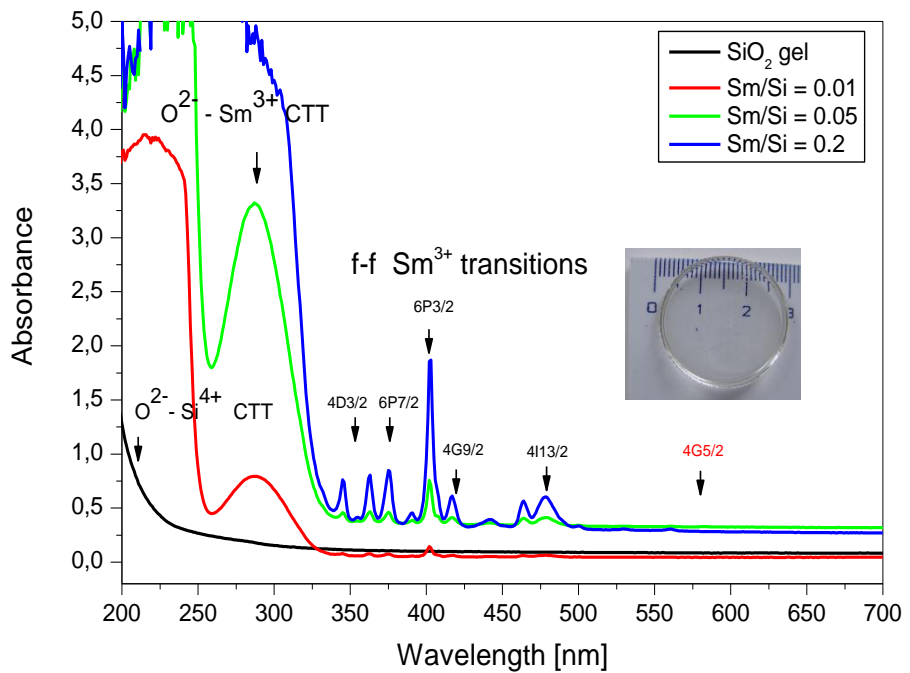
QY = брой емитирани фотони / брой абсорбирани фотони

$$QY_{Samp} = QY_{Ref} \frac{Int_{Samp} \cdot Abs_{Ref}}{Int_{Ref} \cdot Abs_{Samp}} \cdot 100\%$$

Проба	описание	λ_{exc} , nm	QY, %	n_{Eu}/n_{Si} ; n_{Eu}/n_{Zr}
[Eu(ntac) ₃][PPhenDCN]	Багрило	396	10.8 ± 1.8	-
SiO ₂ :Eu[(ntac) ₃ (pphenDCN)]	Импрегнирана	400	17.4 ± 1.74	$3.18 \cdot 10^{-4}$
ZrO ₂ :[Eu(phen) ₂](NO ₃) ₃	Дотирана зол-гел	350	48.2 ± 4.8	$9 \cdot 10^{-3}$
SiO ₂ 0.05Eu + phen	Функционализиране	352	39.57 ± 3.9	$5 \cdot 10^{-2}$

В аморфни неорганични системи при тези условия $QY \approx 1\text{-}2\%$

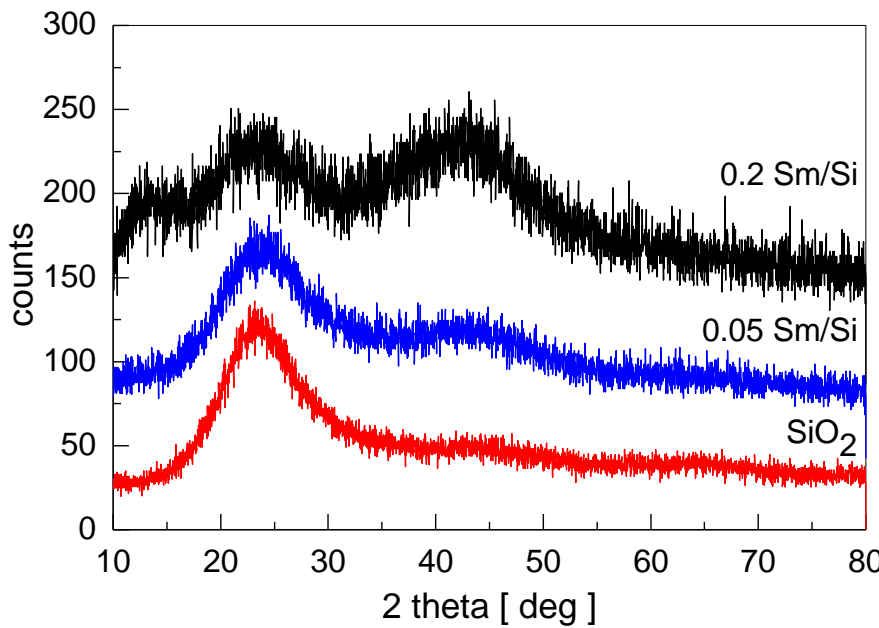
Материали за UV – филтри и защитни покрития



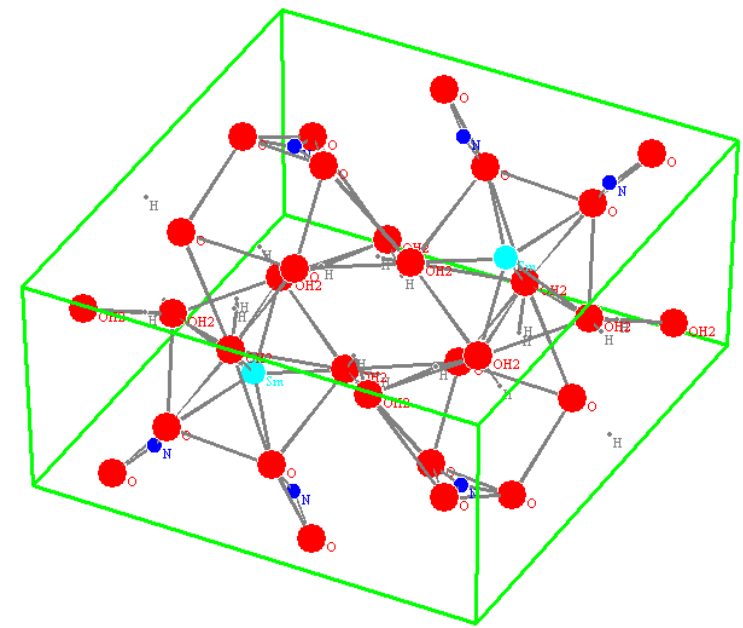
UV/Vis спектри на гелове, модифицирани с различно количество Sm^{3+} , и гел без модифициране.

Зависимост на абсорбцията на от концентрацията

Рентгеноструктурен анализ на гелове дотирани със самарий

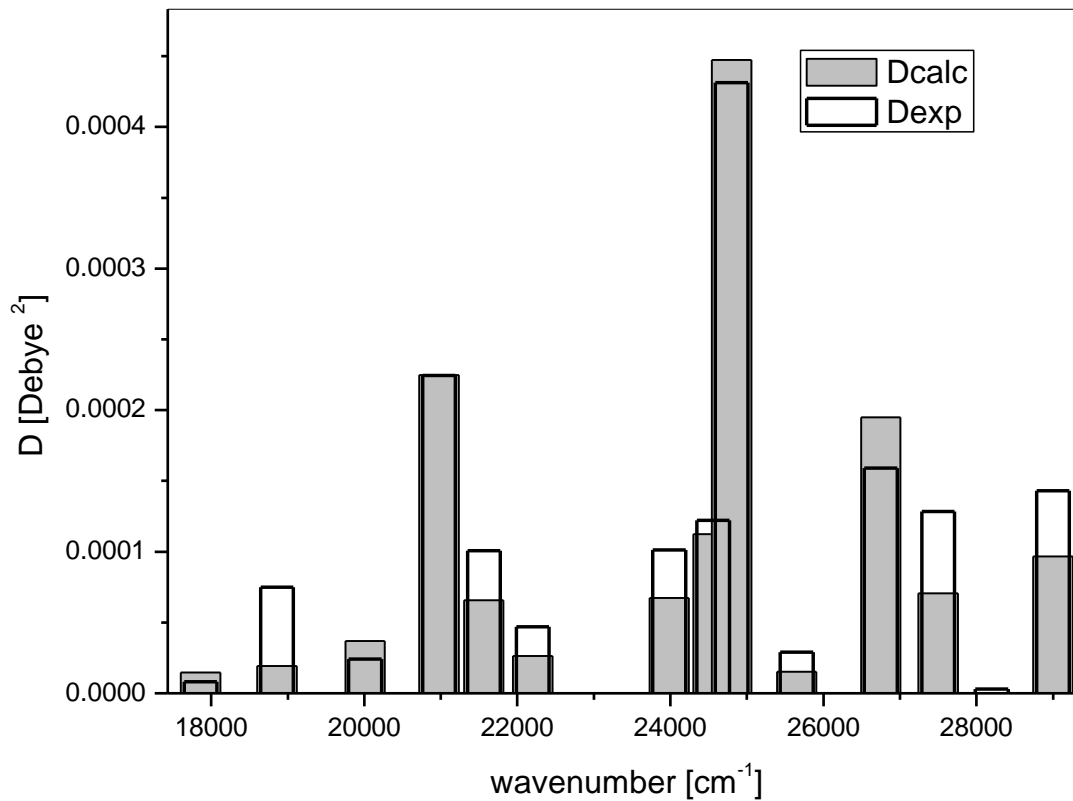


Рентгенограма на гелове, дотирани с различно количество Sm.



Нанокристална фаза от Sm(H₂O)₆(NO₃)₃ в гел, съдържащ 20 и повече молни % Sm.

Calculations vs. measurements

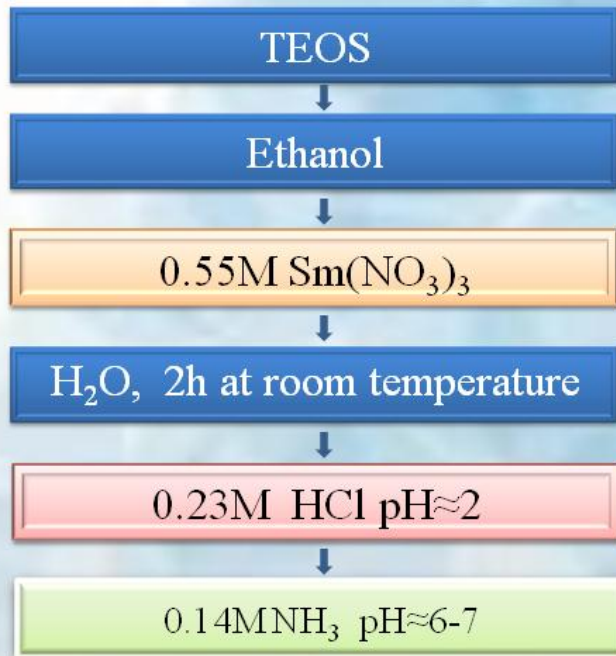


$$D_{\text{calc}} = \frac{1}{2J+1} \cdot \frac{(n^2 + 2)^2}{9n} e^2 \sum_{k=2,4,6} \Omega_k \left| \langle J \middle\| U^{(k)} \middle\| J' \rangle \right|^2$$

$$D_{\text{exp}} = \frac{1}{108.9 \cdot C \cdot d} \int \frac{A(\tilde{\nu})}{\tilde{\nu}} d\tilde{\nu}$$

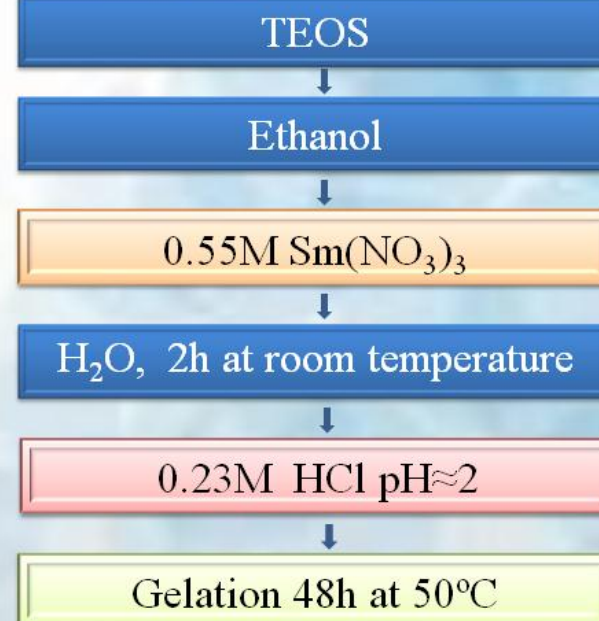
Preparation of $\text{SiO}_2:\text{Sm}^{3+}$

Basic gelation scheme.



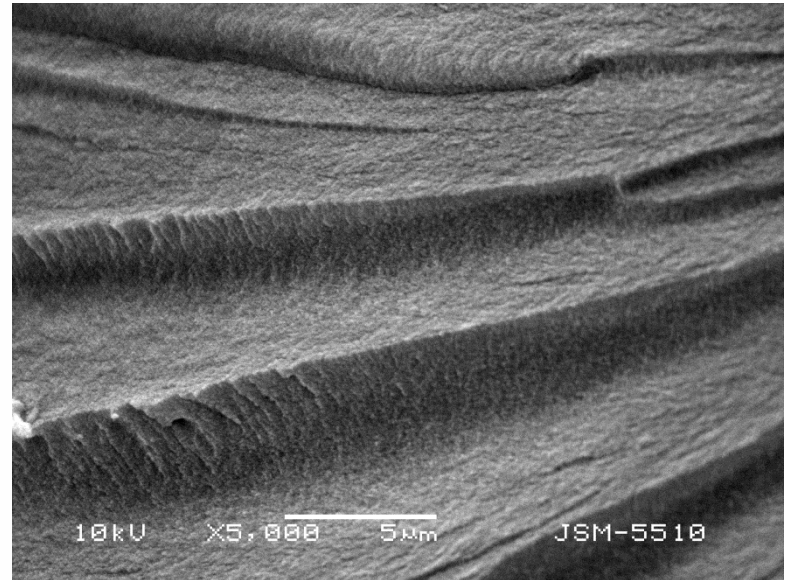
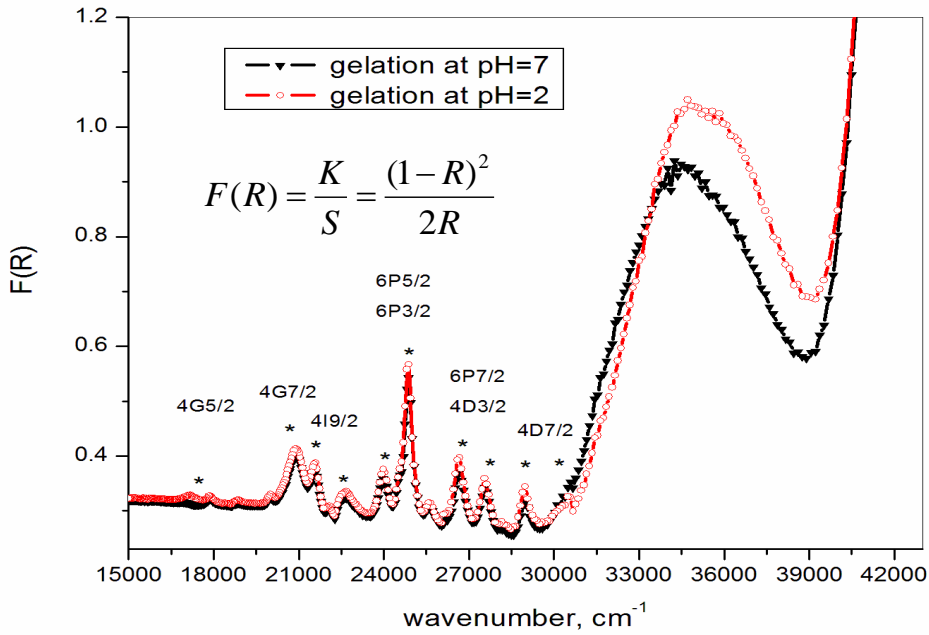
nTEOS: n $\text{C}_2\text{H}_5\text{OH}$:n H_2O : nHCL = 1:1:4:0.003

Acid gelation scheme.



nTEOS: n $\text{C}_2\text{H}_5\text{OH}$:n H_2O : nHCL = 1:1:4:0.003

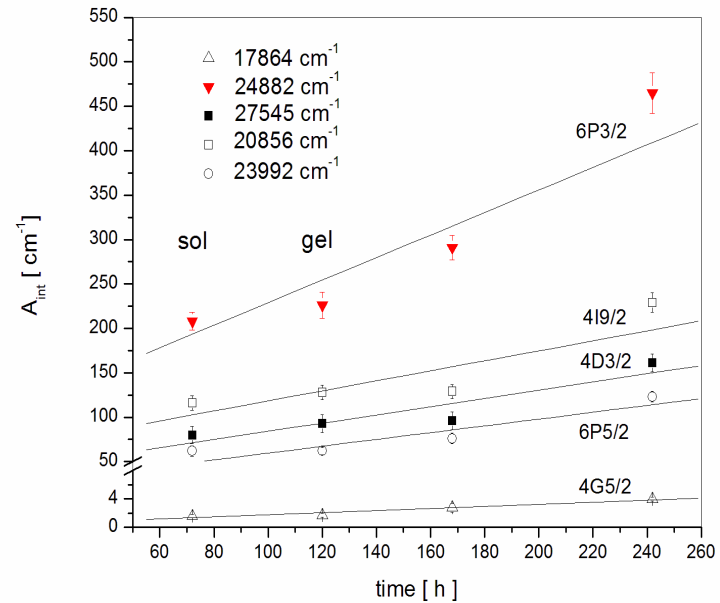
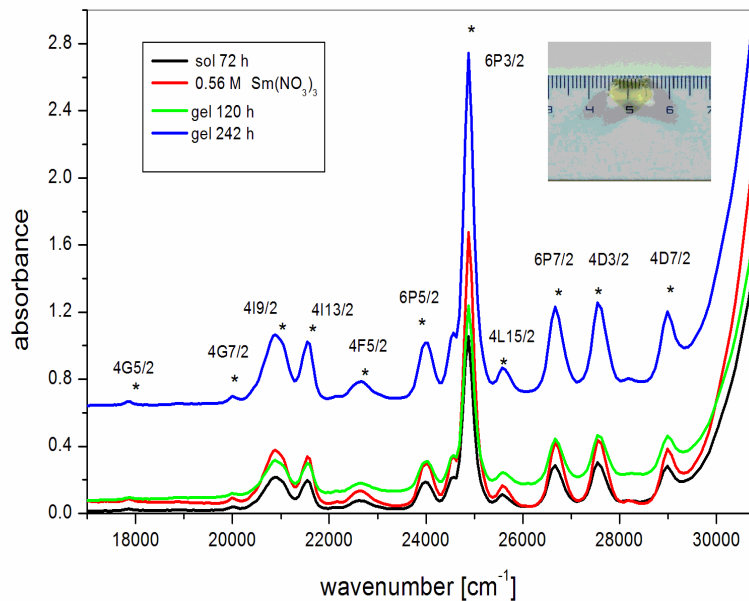
UV/Vis diffuse reflectance spectra of Sm doped silica gels



Our results suggest that acid gelation conditions increase the UV – absorption intensity of doped silica gels.

Application: powder coatings for UV - protection

Absorption spectra vs. time: calculation of the rate of densification of gels from UV/Vis – data



$$A_{\text{int}}(\tilde{\nu}) = \int A(\tilde{\nu}) d\tilde{\nu} = \varepsilon_{\text{int}} \cdot C \cdot d \quad \rightarrow \quad A_{\text{int}}(\tilde{\nu})_t = \varepsilon_{\text{int}} \cdot v \cdot t + A_{\text{int}}(\tilde{\nu})_{t_0}$$

$$v \approx 1.77 \pm 0.25 \text{ mmol/cm}^2 \cdot \text{h.}$$

Благодарности

- *Нина Данчова, Гюляй Ахмед, Жаклин Мисириян, Стефка Станчева, Петя Стоянова, Станимир Стоянов (СУ - ФХФ)*
- *E. Füglein (NETSCH GmbH), M. Bredol (FH Münster), T. Schmidt (TIGER Coatings AG).*
- *НФНИ – проекти ВУХ 08/05, ТК 02/26*
- *FP7 EFFiHEAT, FP7 BeyondEverest*